

UNIVERSIDADE ESTADUAL DE CAMPINAS

INSTITUTO DE MATEMÁTICA, ESTATÍSTICA E COMPUTAÇÃO  
CIENTÍFICA

MS211 - CÁLCULO NUMÉRICO

---

## Relatório - Projeto SIR

---

*Alunos*

Guido Neulaender - 217100

Heloisa Pimentel Lins de Silva - 236510

João Francisco Figueiredo Miranda - 218592

Rodrigo Ryan Oliveira da Silva - 244024

Silas Leonel Pereira Miranda - 258984

*Professor*

Dr. Maicon Ribeiro Corrêa

16 de Julho de 2020

## Introdução

Esse projeto foi feito com intuito de compreender a evolução do coronavírus no Estado de Minas Gerais. Nele foi utilizado o modelo compartimental SIR (Suscetíveis-Infectados-Removidos), que divide a população ( $N$ ) em 3 grupos: suscetíveis a infecção ( $S$ ); os que já foram infectados e que podem infectar os ( $I$ ); e os que já foram removidos ( $R$ ), seja por terem sido curados ou pelo óbito. É sabido que esses 3 grupos interagem segundo o seguinte sistema de Equações Diferenciais Ordinárias (EDOs):

$$\frac{dS}{dt} = -\gamma r_0 \frac{IS}{N}, \quad \frac{dI}{dt} = \gamma \left( r_0 \frac{IS}{N} - I \right) \text{ e } \frac{dR}{dt} = \gamma I$$

onde  $r_0 = \frac{\beta}{\gamma}$  é constante ou dado em função do tempo. Para simulação desse sistema foi utilizado o método numérico de Runge-Kutta, que foi escolhido por ser um método bastante flexível, o que permite que sejam simulados diversos cenários com diversas condições iniciais. Vale ressaltar que foram utilizadas como base de dados as seguintes referências: o painel coronavírus, organizado pelo Professor Alberto Saa [4]; o site da Wikipédia sobre *Compartmental models in epidemiology* [5] e o livro Cálculo Numérico de Marcia A. G. Ruggiero e Vera L. R. Lopes [2]. Ao final da pesquisa, conseguimos obter alguns resultados, disponibilizados em anexo ao final do relatório, que iremos discutir brevemente o que eles querem dizer e com toda implementação do código podendo ser encontrada no GitHub do grupo [1].

Para compreensão da evolução do coronavírus a partir do sistema de EDOs, dito anteriormente, foi-se avaliada duas possibilidades em relação ao  $r_0$ , a primeira com o seu valor constante e a segunda com seu valor variando em relação ao tempo. Possivelmente, a principal diferença entre as duas possibilidades deve-se ao fato de que a segunda terá valores mais exatos do que a primeira, já que ela estará mudando sempre com o tempo devido a variação da taxa de infecção, enquanto a primeira terá sempre o mesmo valor independente das condições.

Para a primeira possibilidade, em que o  $r_0$  é dito constante, adotamos seu valor como  $r_0 \approx 2,6$ , dado pela simples razão entre a taxa de infecção ( $\beta \approx 0,34$ ) e a taxa de remoção ( $\gamma \approx 0,13$ ). Já a segunda possibilidade, que seria o  $r_0$  em função do tempo, foi calculado a partir da seguinte fórmula, dados  $\gamma$  e  $\alpha$ :

$$r_0(t) = \frac{1}{1 - \mu} + \frac{\ddot{C}}{\gamma \dot{C}(1 - \mu)}, \text{ com } \mu(t) = \frac{\alpha}{\gamma N}(\gamma C + \dot{C})$$

sendo  $C$  o número de casos acumulados até o dia  $t$ ,  $\dot{C}$  são o número de casos novos e  $\ddot{C}$  é a variação do crescimento dos casos. A constante  $\alpha$  (entre  $10 < \alpha < 20$ ) é uma estimativa da relação entre o valor real  $R$  de indivíduos removidos e o número de casos acumulados, isto é,  $R = \alpha C$ . Tendo feito isso percebemos que o gráfico dos casos novos estava com muitos ruídos, principalmente pelo atraso dos diagnósticos, e para solucionar esse problema fizemos uma suavização do gráfico utilizando o filtro de média móvel:

$$\overline{C}_t = \frac{1}{2n+1} \sum_{k=t-n}^{t+n} C_k$$

onde  $n$  delimita uma vizinhança simétrica de tamanho  $2n+1$  em volta de um termo  $C_t$ . No nosso caso, seguimos o mesmo procedimento adotado em "Análise automática do Painel Coronavírus" do Prof. Alberto Saa [3], aplicando uma suavização de  $n = 3$  quatro vezes. Para tanto, usamos a seguinte extensão de dados em cada uma das aplicações

$$C_{1-j} = C_1 \text{ e } C_{k+j} = C_k + C_{k-n+j} - C_{k-n},$$

adicionando  $2n$  novos elementos para não perdemos dados após a aplicação do filtro. Finalmente obtida uma suavização satisfatória para o gráfico, calculamos os valores de  $r_0$  e pudemos

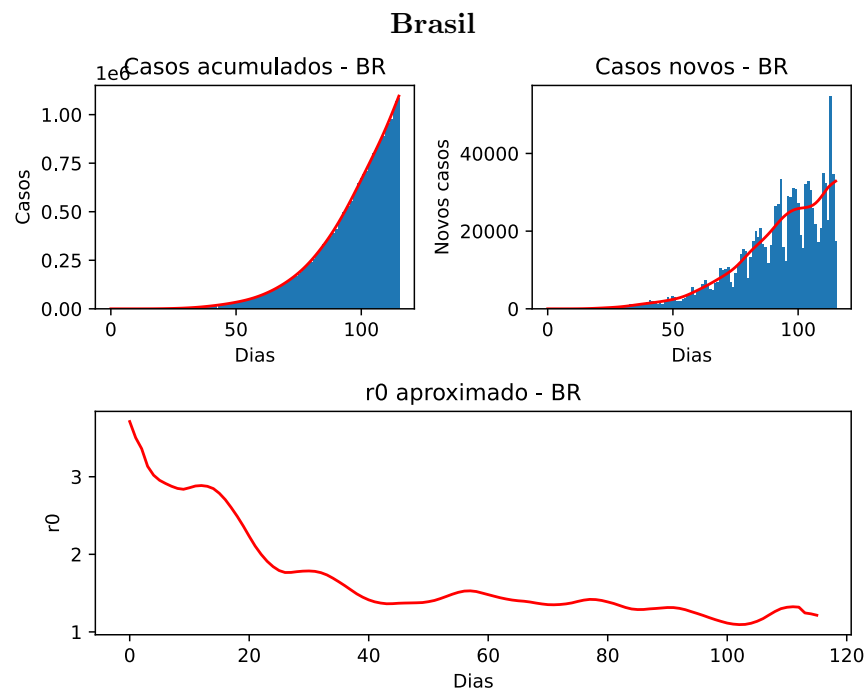
substituir seu valor no sistema de EDOs para ambas as possibilidades e finalmente aplicamos o método de Runge-Kutta, com a simulação podendo ser encontrada em anexo ao final do relatório.

Com  $r_0$  constante, e iniciando a partir de um dia onde haviam 7 casos no estado de Minas Gerais, 17 de março de 2020, e usando como período total da incidência do vírus em torno de 140 dias, chegamos ao gráfico que está no anexo 3. Nele, podemos perceber que com o avanço do vírus no estado, o grupo de infectados, aumenta abruptamente tendo um pico em torno de 70 dias e, após o dobro de tempo, tende a zero. qui, podemos perceber que o vírus tende a rapidamente atingir um grande número de pessoas, fazendo o número de pessoas suscetíveis a infecção diminuir junto com o aumento de infectados, tendendo zero. Ainda, o número de removidos, aumenta a partir do ápice de infectados, mostrando que caso a doença acometer quase toda a população em pouco tempo teria um número de removidos maior que o de infectados.

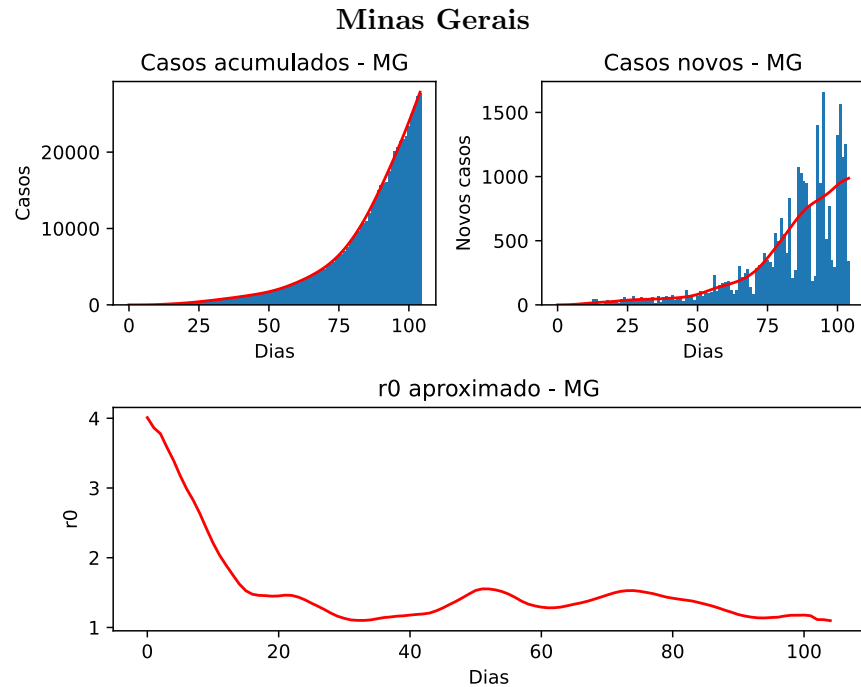
Esta simulação mostra um cenário onde há a ausência da prevenção do vírus. Neste caso, rapidamente haveria um enorme número de infectados atingindo milhares de pessoas em poucos dias. E, também, o número de removidos, por considerar além de pessoas curadas e imunes ao vírus, considera também o número de óbitos, ou seja, não se sabe ao certo a porcentagem da população que criou imunidade ao vírus e a que não resistiu. Isso mostra que num quadro assim, poderiam haver danos irreparáveis à população geral.

## Anexos

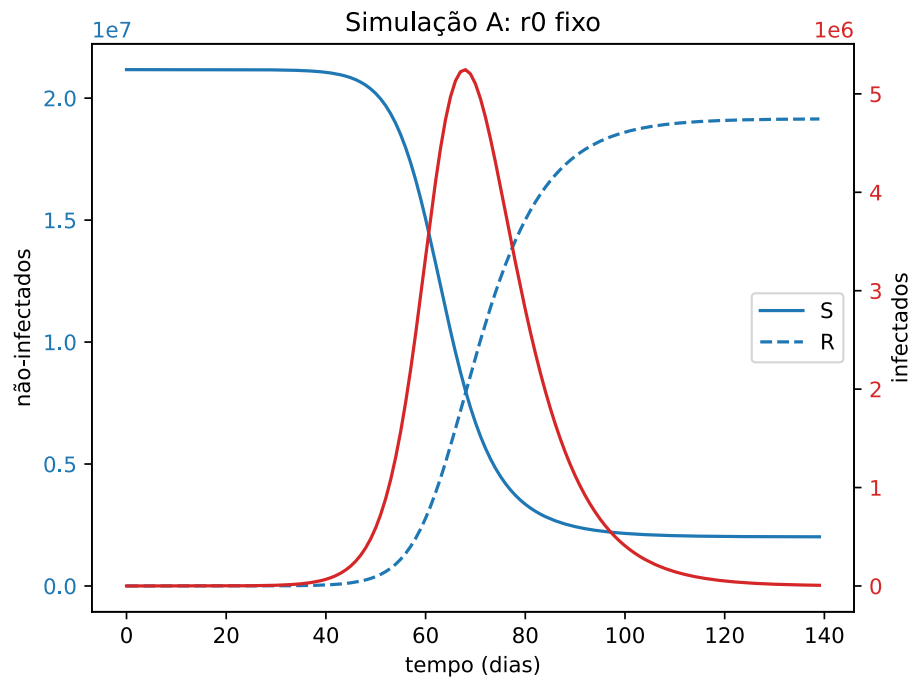
### 1. Dados preliminares do coronavírus no Brasil.



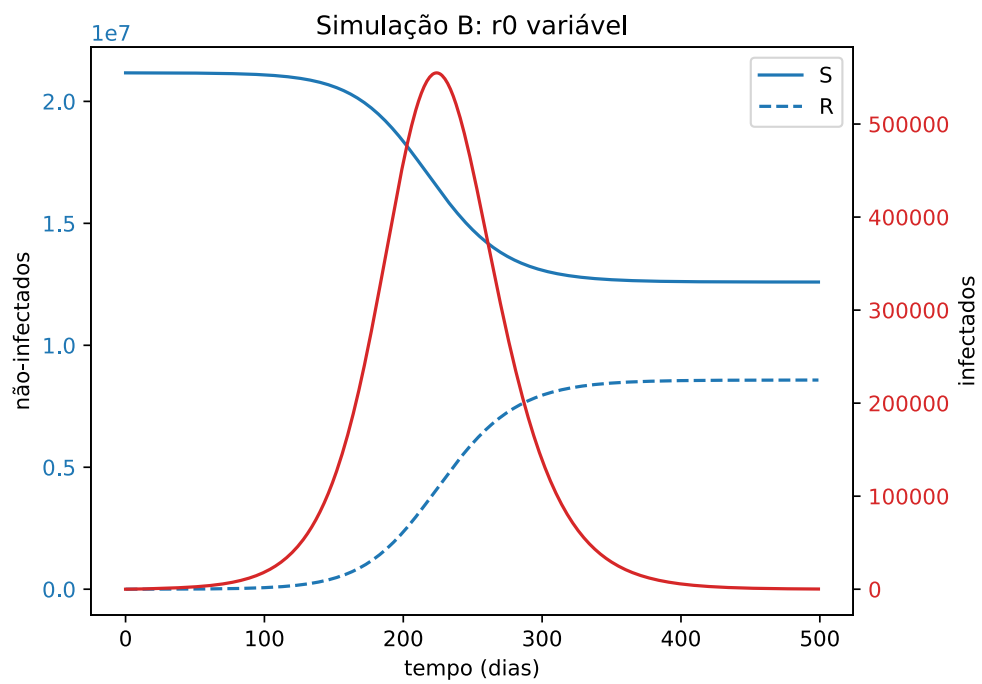
### 2. Dados preliminares do coronavírus em Minas Gerais.



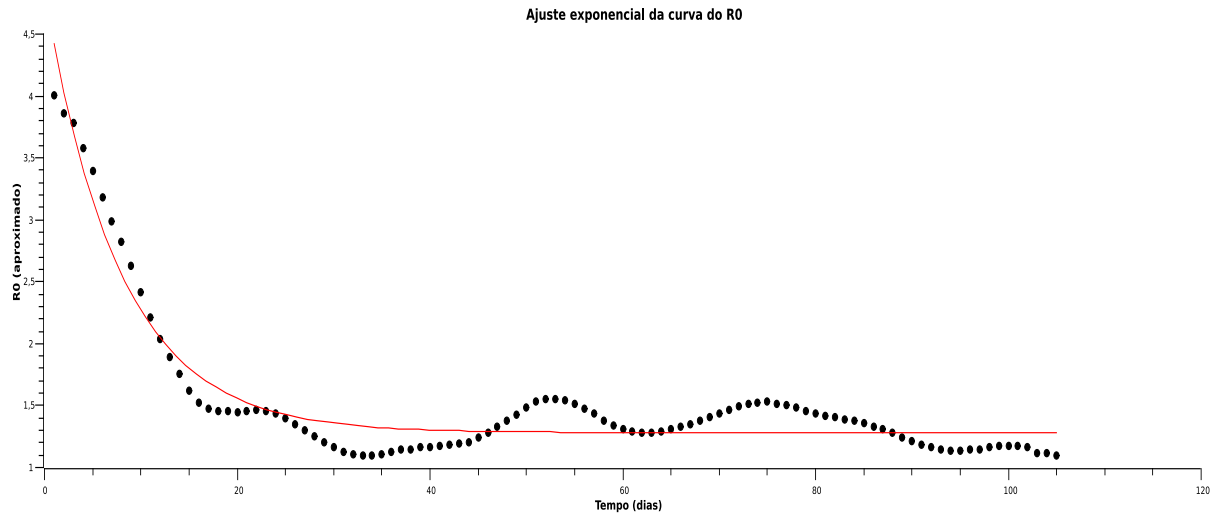
3. Simulação com  $r_0$  constante.



4. Simulação com  $r_0$  variando.



5. Ajuste exponencial da curva do  $r_0(t)$  em Minas Gerais no SciDAVis.



6. Aplicação do método de Runge-Kutta no sistema de EDOs.

Nós sabemos resolver pelo método de Runge-Kutta PVI da forma

$$\begin{cases} y' &= f(x, y) \\ y(x_0) &= y_0 \end{cases}$$

usando a formula de quarta ordem:

$$y_{n+1} = y_n + \frac{1}{6} (k_1 + 2k_2 + 2k_3 + k_4), \quad \text{onde}$$

$$k_1 = \Delta x \cdot f(x_n, y_n)$$

$$k_2 = \Delta x \cdot f(x_n + \Delta x/2, y_n + k_1/2)$$

$$k_3 = \Delta x \cdot f(x_n + \Delta x/2, y_n + k_2/2)$$

$$k_4 = \Delta x \cdot f(x_n + \Delta x, y_n + k_3)$$

Precisamos, então, reescrever as equações do modelo SIR

$$\frac{dS}{dt} = -\gamma r_0 \frac{IS}{N}, \quad \frac{dI}{dt} = \gamma \left( r_0 \frac{IS}{N} - I \right) \quad \text{e} \quad \frac{dR}{dt} = \gamma I$$

de forma que consigamos aplicar Runge-Kutta. Para isso, vamos vetorizar!

$$\vec{u} = \begin{pmatrix} S \\ I \\ R \end{pmatrix} \quad \text{e} \quad \vec{f}(t, \vec{u}) = \begin{pmatrix} f_1 \\ f_2 \\ f_3 \end{pmatrix}, \quad \text{com} \quad f_1 = -\gamma r_0 \frac{IS}{N}, \quad f_2 = \gamma \left( r_0 \frac{IS}{N} - I \right) \quad \text{e} \quad f_3 = \gamma I$$

Dessa forma temos que

$$\frac{d\vec{u}}{dt} = \vec{f}(t, \vec{u}) \quad \text{e} \quad \vec{u}(t_0) = u_0$$

e portanto podemos aplicar Runge-Kutta:

$$\vec{u}_{n+1} = \vec{u}_n + \frac{1}{6} (\vec{k}_1 + 2\vec{k}_2 + 2\vec{k}_3 + \vec{k}_4), \quad \text{onde}$$

$$\vec{k}_1 = \Delta t \cdot \vec{f}(t_n, \vec{u}_n)$$

$$\vec{k}_2 = \Delta t \cdot \vec{f}(t_n + \Delta t/2, \vec{u}_n + \vec{k}_1/2)$$

$$\vec{k}_3 = \Delta t \cdot \vec{f}(t_n + \Delta t/2, \vec{u}_n + \vec{k}_2/2)$$

$$\vec{k}_4 = \Delta t \cdot \vec{f}(t_n + \Delta t, \vec{u}_n + \vec{k}_3)$$

## Referências

- [1] *Calculo-Numerico-SIR*. URL: <https://github.com/GNeulaender/Calculo-Numerico-SIR>.
- [2] Márcia A. Gomes Ruggiero e Vera Lúcia da Rocha Lopes. *Cálculo Numérico, Segunda Edição*. Pearson, 1998.
- [3] Alberto Saa. *Análise automática do Painel Coronavírus*. URL: <http://vigo.ime.unicamp.br/COVID/covid.pdf>. (versão atualizada ainda não publicada).
- [4] Alberto Saa. *Painel Coronavírus*. URL: <http://vigo.ime.unicamp.br/COVID/>.
- [5] Wikipedia. *Compartmental models in epidemiology*. URL: [https://en.wikipedia.org/wiki/Compartmental\\_models\\_in\\_epidemiology](https://en.wikipedia.org/wiki/Compartmental_models_in_epidemiology).